

# 淋病奈瑟菌 *pl* 优势基因型及其 G120/A121 突变与耐药性关系

高剑云 陈建忠 赵金方 周坚红

**【摘要】** 目的 分析浙江省上虞地区淋病奈瑟菌临床菌株外膜孔蛋白优势基因型及其 G120 和 A121 突变与耐药性关系。方法 建立能同时检测 *plA* 和 *plB* 基因的双重 PCR。目的扩增产物 T-A 克隆后测序,以分析 G120 和 A121 突变情况及证实双重 PCR 的检测特异性。采用酸性纸片法和二倍琼脂稀释法,分别检测 *plA*<sup>+</sup> 和 *plB*<sup>+</sup> 菌株产  $\beta$ -内酰胺酶情况以及对 6 种抗生素的耐药性。结果 多重 PCR 可准确地对所有受检淋病奈瑟菌临床菌株进行 porin I (*pl*) 基因分型,其检测灵敏度为 1 ng DNA 模板。116 株淋病奈瑟菌临床菌株中,30.2% (35/116) 为 *plA*<sup>+</sup> 菌株,69.8% (81/136) 为 *plB*<sup>+</sup> 菌株。所有 *plA*<sup>+</sup> 菌株出现 G120D/A121G 双突变 (88.6%) 或 A121G 单突变 (11.4%), 98.8% *plB*<sup>+</sup> 菌株出现 G120K/A121D (65.0%)、G120K/A121G 或 G120N/A121D (13.8%) 双突变以及 G120D/N/K 单突变 (21.3%)。34.5% (40/116) 菌株产  $\beta$ -内酰胺酶,其中 *plA*<sup>+</sup> 菌株产酶率 (20%) 明显低于 *plB*<sup>+</sup> 菌株 (40.7%) ( $P < 0.05$ )。上述临床菌株对青霉素、四环素、环丙沙星和阿奇霉素耐药率高达 75.0% ~ 90.5%,仅有 3 株菌株对头孢曲松耐药,未发现大观霉素耐药菌株。100% 和 71.4% 不产  $\beta$ -内酰胺酶、G120 和/或 A121 突变 *plA*<sup>+</sup> 菌株分别对青霉素和四环素敏感,但不产  $\beta$ -内酰胺酶 G120 和/或 A121 突变的 *plB*<sup>+</sup> 菌株对该 2 种抗生素耐药率均为 100%。结论 所建立的多重 PCR 可用于淋病奈瑟菌 *pl* 基因快速和准确分型。上虞地区流行的淋病奈瑟菌主要携带 *plB* 基因。大观霉素和头孢曲松仍可作为治疗淋病的首选药物。G120 和/或 A121 突变增强对青霉素和四环素耐药性仅限于 *plB*<sup>+</sup> 菌株。

**【关键词】** 淋病奈瑟菌; Porin I 基因; 双重 PCR; 耐药性

**Correlation between predominant *pl* genotypes, G120/A121 mutations and drug resistance**  
GAO Jian-yun<sup>1</sup>, CHEN Jian-zhong<sup>1</sup>, ZHAO Jin-fang<sup>2</sup>, ZHOU Jian-hong<sup>3</sup>. 1 Maternal and Child Health Hospital of Shangyu City, Zhejiang, Shangyu 312300, China; 2 Department of Microbiology and Parasitology, Medical College of Zhejiang University; 3 The Affiliated Gynecological and Obstetric Hospital of Medical College, Zhejiang University  
Corresponding author: ZHOU Jian-hong, Email: Med\_bp@zju.edu.cn

**【Abstract】 Objective** To analyze the predominant genotypes of outer membrane porin I (PI) and to determine the correlation between G120 as well as A121 mutations in PI proteins and drug resistance in *Neisseria gonorrhoeae* isolates in the local area. **Methods** A double PCR to simultaneously detect both *plA* and *plB* genes, was established in this study. The target amplification products were T-A cloned and then sequenced to determine the mutations at G120, A121 and the specificity of double PCR. By using acidity slip method and double agar dilution method, the  $\beta$ -lactamase production and resistance to six antibiotics of *plA*<sup>+</sup> and *plB*<sup>+</sup> gonococcal isolates were detected. **Results** Double PCR could be used to accurately genotyping *pl* genes in all the tested gonococcal isolates with the sensitivity of 1 ng DNA template. In the 116 *N. gonorrhoeae* isolates, 30.2% (35/116) were *plA*<sup>+</sup> strains and 69.8% (81/136) were *plB*<sup>+</sup> strains. All the *plA*<sup>+</sup> strains presented G120D/A121G double mutations (88.6%) or A121G single mutation (11.4%). 98.8% of the *plB*<sup>+</sup> strains presented G120K/A121D (65.0%), G120K/A121G or G120N/A121D (13.8%) double mutations, and G120D/N/K single mutation (21.3%). 34.5% (40/116) of the isolates produced  $\beta$ -lactamase, and the enzyme-produced rate (20%) in *plA*<sup>+</sup> strains was significantly lower than that in *plB*<sup>+</sup> strains (40.7%) with  $P < 0.05$ . No spectinomycin-resistant strains were identified but three ceftriaxone-resistant strains were presented. However, the resistance ratios to penicillin, tetracycline, ciprofloxacin

DOI: 10.3760/cma.j.issn.0254-6450.2010.04.019

作者单位: 312300 浙江省上虞市妇幼保健院(高剑云、陈建忠); 浙江大学医学院病原生物系(赵金方); 浙江大学医学院附属妇产科医院(周坚红)

通信作者: 周坚红, Email: Med\_bp@zju.edu.cn

and azithromycin of all the isolates were as high as 75.0%–90.5%. 100% and 71.4% of the *pIA*<sup>+</sup> strains without  $\beta$ -lactamase production and with G120 and/or A121 mutations were sensitive to penicillin and tetracycline, respectively. On the contrast, 100% of the *pIB*<sup>+</sup> strains without  $\beta$ -lactamase production and with G120 and/or A121 mutations were resistant to both the two antibiotics.

**Conclusion** The established double PCR method could be used for fast and accurate genotyping of *N.gonorrhoeae* *pl* genes. The *N.gonorrhoeae* strains prevalent in the local areas mainly possessed *pIB* gene. Both spectinomycin and ceftriaxone could still be chosen to treat gonorrhea. The resistance enhancement caused by G120 and/or A121 mutations to penicillin and tetracycline was only presented in *pIB*<sup>+</sup> gonococci.

**[Key words]** *Neisseria gonorrhoeae*; Porin I gene; Double polymerase chain reaction; Drug resistance

淋病奈瑟菌 (*Neisseria gonorrhoeae*) 感染引起的淋病是我国人群中发病率最高的性传播疾病之一<sup>[1-3]</sup>。孔蛋白 (porin, PI) 是淋病奈瑟菌主要外膜蛋白, 分为孔蛋白 I、II 和 III (PI、PII 和 PIII) 三类, 其中 60% 为 PI<sup>[4]</sup>。PI 由一对细菌染色体上等位基因编码, 根据其序列及产物免疫原性差异分为 PIA 和 PIB 两类, 两者氨基酸序列相似性为 65%~80%, 但一株淋病奈瑟菌或含 *pIA* 基因或含 *pIB* 基因<sup>[5]</sup>。近年文献报道, 不同地区流行的 *pIA*<sup>+</sup> 和 *pIB*<sup>+</sup> 淋病奈瑟菌比例有明显差异<sup>[6,7]</sup>, 且 PIB 分子中 G120 和 A121 突变与细菌耐药性密切相关<sup>[8,9]</sup>。为探讨 G120 和 A121 突变与细菌耐药性关系, 本研究从临床标本中分离了 116 株淋病奈瑟菌并对其耐药性进行测定, 采用能同时检测 *pIA* 和 *pIB* 基因双重 PCR 对上述菌株进行基因分型, 并分析部分 *pIs* 基因扩增产物序列。

## 材料与方法

1. 菌株来源及培养: 采集 2008 年 1—12 月在浙江省上虞市妇幼保健院就诊淋病患者泌尿生殖道分泌物标本, 接种于含 10% 脱纤维羊血的 GC 琼脂平板上 (Oxoid), 内含 VCN 抑菌剂和 1% ISO-VitaleX 增菌剂 (Oxoid), 36 °C 培养 48 h, 经菌落形态检查、革兰染色镜检和氧化酶试验确认分离获得 116 株淋病奈瑟菌。不产  $\beta$ -内酰胺酶淋病奈瑟菌标准株 WHO-A、产  $\beta$ -内酰胺酶淋病奈瑟菌 WHO-E 购自中国药品生物制品检定所, 药敏试验质控菌株 ATCC49226 由浙江大学医学院病原生物学系提供。作为双重 PCR 特异性检测的大肠埃希菌 ATCC25922、金黄色葡萄球菌 ATCC25923、铜绿假单胞菌 ATCC27543 株购自中国药品生物制品检定所, 用普通肉汤琼脂 (Oxoid) 37 °C 培养 24 h。

2. DNA 提取: 收集平板上各细菌新鲜培养物, 用生理盐水洗涤并离心沉淀 3 次, 取细菌沉淀用细菌基因组 DNA 提纯试剂盒 (BioColor) 提取各菌株基因组 DNA。提取的 DNA 溶于 TE 缓冲液中, 采用

紫外分光光度法测定其浓度和纯度<sup>[10]</sup>。

3. 双重 PCR: 根据 GenBank 登录的 *pIA* 和 *pIB* 基因序列及内切酶图谱分析结果, *pIA* 和 *pIB* 基因 5' 及 3' 端序列相同<sup>[11,12]</sup>, 故设计一对可扩增全长 *pIs* 基因引物 F1 和 R, 由于 *pIA* 基因中间区较 *pIB* 基因短 63 bp, 且序列相似性较低, 故在其中设计仅用于扩增 *pIB* 基因上游引物 F2。上游引物 F1 序列: 5'-ATG AAA AAA TCC CTG ATT GCC-3', 上游引物 F2 序列: 5'-GAT ACG GCG AAG GCA CTA AA-3', 下游引物 R 序列: 5' -TTA GAA TTT GTG GCG CAG AAC-3'。引物由上海英骏生物技术有限公司 (Invitrogen) 合成。PCR 总体积为 100  $\mu$ l, 内含: 2.5 mol/L 各 dNTP、250 nmol/L 各引物、2.5 U Taq-Pfu 聚合酶 (TaKaRa)、100 ng DNA 模板、1 $\times$  PCR 缓冲液 (pH 值 8.3)。PCR 参数: 94 °C 5 min; 94 °C 30 s、54 °C 30 s、72 °C 90 s, 30 个循环; 72 °C 10 min。采用溴化乙锭预染 1.5% 琼脂糖凝胶电泳检测扩增产物。全长 *pIA* 和 *pIB* 基因扩增片段大小分别为 984 bp 和 1047 bp, 其中 *pIB* 基因另有一条 201 bp 扩增条带。

4. 双重 PCR 灵敏度和特异性检测: 从 10 株淋病奈瑟菌临床分离株、大肠埃希菌 ATCC25922、金黄色葡萄球菌 ATCC25923 和铜绿假单胞菌 ATCC27543 株提取的基因组 DNA 采用紫外分光光度法测定浓度<sup>[10]</sup>, 然后用 TE 缓冲液做 10 倍连续稀释 (0.001~100 ng/ $\mu$ l)。在上述多重 PCR 系统中分别加入不同浓度各菌株 DNA 模板 10  $\mu$ l, 扩增参数及结果观察同上。

5. 序列分析: 双重 PCR 产物经琼脂糖凝胶电泳检测后, 采用 PCR 产物纯化试剂盒 (BioColor) 回收全长 *pIA* 或 *pIB* 基因扩增片段, 提纯的 PCR 产物质量经紫外分光光度法检测合格 ( $1.8 < A_{260}/A_{280} < 2.1$ ) 后委托 Invitrogen 公司测序, 以了解 G120 和 A121 突变情况并考核双重 PCR 检测结果的准确性。

6. 药敏试验: 青霉素、四环素、头孢曲松、大观霉素、环丙沙星、阿奇霉素购自中国药品生物制品检定

所,采用WHO西太平洋地区淋病奈瑟菌耐药监测规划推荐的二倍琼脂稀释法测定各抗生素最低抑菌浓度(MIC)<sup>[13]</sup>。先将1 ml不同浓度各抗生素溶液加入平皿,GC琼脂加热溶解后冷却至约50℃并加入10%脱纤维羊血后倾注平板,使平板中各抗生素浓度均分别为0.015~32 mg/L,37℃孵育24 h检菌。各淋病奈瑟菌临床菌株和WHO标准菌株在GC培养基上传代2次后,用24 h新鲜培养物制成0.5麦氏浓度的菌悬液,用多点接种器接种于检菌合格的药敏平板,经36℃培养48 h后观察结果,以细菌生长被抑制的药物最高稀释度为MIC。对青霉素、四环素、头孢曲松和大观霉素耐药的判断标准均为MIC≥2 mg/L,对环丙沙星和阿奇霉素耐药的判断标准为MIC≥1 mg/L<sup>[13]</sup>。

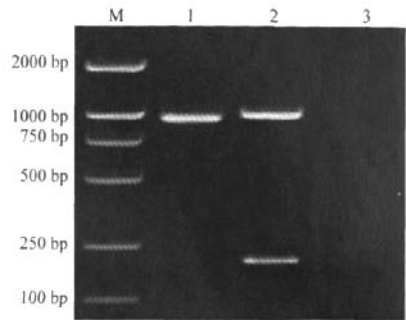
7. β-内酰胺酶检测:采用纸片酸度法测定淋病奈瑟菌株产β-内酰胺酶情况<sup>[13]</sup>。先将滤纸片用含溴甲酚紫指示剂的青霉素溶液饱和,取待检定淋病奈瑟菌株5~8个菌落涂布于滤纸片上形成直径5 mm菌膜,37℃孵育10 min,滤纸片由紫变黄者为β-内酰胺酶阳性,不变色者为阴性。实验中分别以标准菌株WHO-E和WHO-A分别作为阳性和阴性对照。

### 结 果

1. 双重PCR检测灵敏度和特异性:该多重PCR扩增灵敏度为1 ng淋病奈瑟菌DNA,对不同浓度的金黄色葡萄球菌、大肠埃希菌和铜绿假单胞菌DNA扩增结果均为阴性。

2. 双重PCR的*pls*分型:116株淋病奈瑟菌临床菌株基因组DNA中均可扩增出预期大小的全长*pIA*基因或*pIB*基因片段(图1);其中*pIA*<sup>+</sup>菌株35株(30.2%),*pIB*<sup>+</sup>菌株81株(69.8%)。双重PCR的*pl*基因分型结果与测序结果完全相符。

3. β-内酰胺酶检测:在116株淋病奈瑟菌临床菌株中,34.5%(40/116)产生β-内酰胺酶,65.5%(76/116)β-内酰胺酶检测结果阴性。其中35株*pIA*<sup>+</sup>菌



注: M: DNA Marker (BioColor); 1、2: 从淋病奈瑟菌临床株中扩增的*pIA*基因片段(984 bp)和*pIB*基因片段(1047和201 bp); 3: 空白对照

图1 双重PCR扩增的淋病奈瑟菌*pIA*和*pIB*基因片段

和81株*pIB*<sup>+</sup>菌中分别有7株(22.8%, 7/35)和33株(39.5%, 33/81)β-内酰胺酶检测结果阳性,差异有统计学意义( $\chi^2=4.65, P<0.05$ )。

4. G120和A121突变率及突变类型(表1):所有35株*pIA*<sup>+</sup>淋病奈瑟菌临床菌株PIA序列中G120和/或A121均发生突变,但突变形式仅有G120D/A121G双突变(88.6%, 31/35)和A121G单突变(11.4%, 4/35)两类。*pIB*<sup>+</sup>淋病奈瑟菌临床菌株中仅有1株未发生G120和A121突变外,其余80株(98.8%, 80/81)均发生G120和/或A121突变且形式多样,但以G120K/A121D双突变为(65.0%, 52/80),仅13.8%(11/80)菌株G120K/A121G或G120N/A121D双突变,21.3%(17/80)菌株在G120位点发生单突变。

5. MIC检测:结果见表2。116株淋病奈瑟菌临床菌株对青霉素、四环素、头孢曲松、环丙沙星和阿奇霉素的耐药率分别为75.0%(87/116)、77.6%(90/116)、2.6%(3/116)、90.5%(105/116)和88.8%(103/116),但未发现耐大观霉素菌株。尽管所有*pIA*<sup>+</sup>菌株均有G120和/或A121突变,但其中不产β-内酰胺酶*pIA*<sup>+</sup>菌株均对青霉素敏感,71.4%(20/28)不产β-内酰胺酶*pIA*<sup>+</sup>菌株对四环素敏感。值得注意的是,本研究中出现3株对头孢曲松中度耐药(MIC=2~4 mg/L)的*pIB*<sup>+</sup>菌株。

表1 115株淋病奈瑟菌*pIA*<sup>+</sup>或*pIB*<sup>+</sup>株的G120和A121突变类型

菌株	β-内酰胺酶	株数	突变形式							
			G120K/A121D	G120K/A121G	G120N/A121D	G120D/A121G	G120D	G120K	G120N	A121G
<i>pIA</i> <sup>+</sup>	+	7	0	0	0	6	0	0	0	1
	-	28	0	0	0	25	0	0	0	3
<i>pIB</i> <sup>+</sup>	+	33	22	3	1	0	4	1	2	0
	-	47*	30	5	2	0	6	2	2	0
合计		115	52	8	3	31	10	3	4	4

注: \*1株不产β-内酰胺酶*pIB*<sup>+</sup>菌株G120和A121未突变

表 2 116 株淋病奈瑟菌临床菌株药敏试验结果

菌株	β-内酰胺酶	株数	MIC 值 (mg/L)											
			青霉素		四环素		头孢曲松		大观霉素		环丙沙星		阿奇霉素	
			<2	≥2	<2	≥2	<2	≥2	<2	≥2	<1	≥1	<1	≥1
<i>pIA</i> <sup>+</sup>	+	7	0	7	5	2	7	0	7	0	1	6	1	6
	-	28	28	0	20	8	28	0	28	0	2	26	3	25
<i>pIB</i> <sup>+</sup>	+	33	0	33	0	33	32	1	33	0	3	30	3	30
	-	48	1*	47	1*	47	46	2	48	0	5	43	6	42
合计		116	29	87	26	90	113	3	116	0	11	105	13	103

注: \*同表 1

## 讨 论

淋病奈瑟菌对青霉素和四环素耐药机制主要有质粒介导和染色体介导两大类<sup>[3,9]</sup>。以往认为淋病奈瑟菌可由质粒基因编码产生β-内酰胺酶,从而导致高水平的质粒介导特异性耐药性<sup>[13,14]</sup>。近年文献报道,外膜通透性降低也是淋病奈瑟菌对青霉素和四环素耐药有关,可导致中等水平的染色体介导非特异性耐药性<sup>[12,13]</sup>。由于淋病奈瑟菌具有质粒和/或染色体介导两种耐药机制,从而表现为淋病奈瑟菌菌株的高耐药率<sup>[3,9,13]</sup>。

PI 是具有重要功能的淋病奈瑟菌外膜蛋白,有 PIA 和 PIB 两个亚型,不仅与细菌播散性和感染范围相关,也可刺激机体产生具有激活补体、促进吞噬等免疫调节作用的特异性抗体,因而也被认为是制备诊断试剂盒或基因工程疫苗重要的候选抗原<sup>[15,16]</sup>。已有报道不同亚型淋病奈瑟菌的致病机制有差异<sup>[12,14]</sup>。此外,G120 和 A121 构成淋病奈瑟菌 PIB 分子中第三环(loop 3)上 2 个氨基酸,若编码 PIB 的 *pIB* 基因的 G120 和 A121 突变可使 PIB 分子空间构型发生较大改变,结果使膜通透性显著降低,进入细菌的抗生素明显减少<sup>[9,14]</sup>。因此,了解不同地区淋病奈瑟菌临床菌株 PI 基因型及其 G120 和 A121 突变与耐药性关系具有现实意义。

全长 *pIA* 和 *pIB* 基因扩增片段分别为 984 bp 和 1047 bp,其大小十分接近,不易用琼脂糖凝胶电泳加以区分。为了较为方便地对淋病奈瑟菌 PI 基因分型,我们在分析淋病奈瑟菌 *pl* 基因序列保守区和高变区的基础上,另设计引物用于扩增 *pIB* 基因中特有的一个 201 bp 片段,该 201 bp 条带可明确指示 *pIB* 基因扩增产物。实验结果表明,我们建立的双重 PCR 能将所有受检的 115 株淋病奈瑟菌进行 *pIA* 和 *pIB* 基因分型,对泌尿道常见病病原金黄色葡萄球菌、大肠埃希菌和铜绿假单胞菌基因组 DNA 无非特异性扩增,检测灵敏度也可达 1 ng 淋病奈瑟菌 DNA 模板,测序结果证实双重 PCR 分型结果完全正

确,表明本研究中建立的双重 PCR 可快速、简便、敏感、特异地对 *pl* 基因准确分型。双重 PCR 结果显示,116 株淋病奈瑟菌临床菌株中,30.2%(35/116)为 *pIA*<sup>+</sup> 菌株,69.8%(81/136)为 *pIB*<sup>+</sup> 菌株,此分型结果与国外文献报道接近<sup>[6,7,9]</sup>。

Olesky 等<sup>[17]</sup>采用定位突变技术,分别用 D/K/R/P 替换淋病奈瑟菌 PIB 分子中 G120、用 D/H/P 替换 A121,结果显示突变菌株增强了对青霉素和四环素耐药性。本次实验结果显示,在 81 株 *pIB*<sup>+</sup> 淋病奈瑟菌临床菌株中,除 1 株未发生 G120 和 A121 突变外,98.8% 菌株出现多种形式的 G120 和/或 A121 突变,其中 65.0% 为 G120K/A121D 双突变、13.8% 为 G120K/A121G 或 G120N/A121D 双突变,合计双突变率为 78.8%,仅有 21.3% 菌株在 G120 发生单位点突变,未发现独立的 A121 突变,且 G120 突变率(100%,80/81)高于 A121(77.8%,63/81)。实验中还发现,PIB 分子中 G120 替换的氨基酸按频率高低依次为 K/D/N, A121 则依次为 D/G,未发现 G120R/P 和 A121H/P 突变,表明 G120 和 A121 自然突变所替换的氨基酸与实验室人工干预有明显差异。此外,所有受检的 35 株 *pIA*<sup>+</sup> 淋病奈瑟菌临床株 PIA 序列中 G120 和/或 A121 均发生突变,但突变形式较 PIB 简单,仅有 G120D/A121G 双突变(88.6%)和 A121G 单突变(11.4%)两类。

本次β-内酰胺酶检测结果显示,仅有 34.5%(40/116) 淋病奈瑟菌临床株产生β-内酰胺酶,低于国内同类研究报道的 45%~47.5% 阳性率<sup>[18,19]</sup>。令人感兴趣的是,40 株产β-内酰胺酶菌株中,*pIA*<sup>+</sup> 菌株仅有 7 株,其余 33 株均为 *pIB*<sup>+</sup> 菌株,其差异有统计学意义 ( $P < 0.05$ )。MIC 检测结果显示,淋病奈瑟菌临床株对青霉素、四环素、环丙沙星和阿奇霉素均有很高的耐药率(75.0%~90.5%),但对头孢曲松耐药率仅为 2.6% 且呈中度耐药(MIC=2~4 mg/L),未发现大观霉素菌株,这与国内同类研究报道发现大观霉素耐药株而无头孢曲松耐药株有所不同<sup>[18,19]</sup>。值得注意的是,尽管所有 *pIA*<sup>+</sup> 菌株均有 G120 和/或 A121 突

变,其中不产 $\beta$ -内酰胺酶 $pIA^+$ 菌株均对青霉素敏感,71.4%不产 $\beta$ -内酰胺酶 $pIA^+$ 菌株对四环素敏感,但不产 $\beta$ -内酰胺酶G120和/或A121突变的 $pIB^+$ 菌株对青霉素和四环素耐药率均为100%,提示G120和/或A121突变增强对青霉素和四环素耐药性仅限于 $pIB^+$ 菌株,这与国外文献报道相似<sup>[17,20]</sup>。

### 参 考 文 献

- [1] WHO. Global prevalence and incidence of selected curable sexually transmitted infections: overview and estimates. Geneva: WHO, 2001: 14-19.
- [2] Zheng HP, Pan HQ, Huang JM, et al. Study on serotypes and auxotypes of *Neisseria gonorrhoeae* in Guangzhou. Chin J Sex Transm Infect, 2002, 2: 24-26.
- [3] Su X, Jing F, Dia X, et al. Surveillance of antimicrobial susceptibilities in *Neisseria gonorrhoeae* in Nanjing, China, 1999-2006. Sex Transm Dis, 2007, 34: 995-999.
- [4] Elkins C, Barkley KB, Carbonetti NH, et al. Immunobiology of purified recombinant outer membrane porin protein I of *Neisseria gonorrhoeae*. Mol Microbiol, 1994, 14: 1059-1075.
- [5] Swanson J, Dorward D, Lubke L, et al. Porin polypeptide contributes to surface charge of gonococci. J Bacteriol, 1997, 179: 3541-3548.
- [6] McKnew DL, Lyun F, Zenilman JM, et al. Porin variation among clinical isolates of *Neisseria gonorrhoeae* over a 10-year period, as determined by Por variable region typing. J Infect Dis, 2003, 187: 1213-1222.
- [7] Kühlewein C, Rechner C, Meyer TF, et al. Low-phosphate-dependent invasion resembles a general way for *Neisseria gonorrhoeae* to enter host cells. Infect Immun, 2006, 74: 4266-4273.
- [8] Ilina EN, Malakhova MV, Vereshchagin VA, et al. Molecular typing of *N. gonorrhoeae* strains prevalent in the Russian Federation. Bull Exp Biol Med, 2003, 136: 179-182.
- [9] Pérez-Losada M, Viscidi RP, Demma JC, et al. Population genetics of *Neisseria gonorrhoeae* in a high-prevalence community using a hypervariable outer membrane *porB* and 13 slowly evolving housekeeping genes. Mol Biol Evol, 2005, 22: 1887-1902.
- [10] Sambrook J, Fritsch EF, Maniatis T. Molecular cloning, a laboratory manual. 2nd ed. New York: Gold Spring Harbor Laboratory Press, 1989: 1.21-1.52, 2.60-2.80, 7.30-7.35, 9.14-9.22.
- [11] Mee BJ, Thomas H, Cooke SJ, et al. Structural comparison and epitope analysis of outer-membrane protein PIA from strains of *Neisseria gonorrhoeae* with differing serovar specificities. Gen. Microbiol, 1993, 139: 2613-2620.
- [12] Cooke SJ, de la Paz H, La Poh C, et al. Variation within serovars of *Neisseria gonorrhoeae* detected by structural analysis of outer-membrane protein PIB and by pulsed-field gel electrophoresis. Microbiology, 1997, 143: 1415-1422.
- [13] WHO. Western pacific gonococcal antimicrobial surveillance programme: surveillance of antibiotic resistance in *Neisseria gonorrhoeae* in the World Health Organization Western Pacific Region, 2003. Commun Dis Intell, 2005, 29: 62-64.
- [14] Gill MJ, Simjee S, Al-Hattawi K, et al. Gonococcal resistance to  $\beta$ -lactams and tetracycline involves mutation in loop 3 of the porin encoded at the *penB* locus. Antimicrob Agents Chemother, 1998, 42: 2799-2803.
- [15] Zhu W, Thomas CE, Sparling PF. DNA immunization of mice with a plasmid encoding *Neisseria gonorrhoea* PorB protein by intramuscular injection and epidermal particle bombardment. Vaccine, 2004, 22: 660-669.
- [16] Marcos PL, Raphael PV, James CD, et al. Population genetics of *Neisseria gonorrhoeae* in a high-prevalence community using a hypervariable outer membrane *porB* and 13 slowly evolving housekeeping genes. Mol Biol Evol, 2005, 22: 1887-1902.
- [17] Olesky M, Hobbs M, Nicholas RA. Identification and analysis of amino acid mutations in porin IB that mediate intermediate-level resistance to penicillin and tetracycline in *Neisseria gonorrhoeae*. Antimicrob Agents Chemother, 2002, 46: 2811-2820.
- [18] Zhang TJ, Zhou XM, Zhang YH, et al. Analysis on the antibiotics-susceptibility of clinical *N. gonorrhoeae* isolates in Shanghai area. Chin J Dermatovenereol, 2008, 22(4): 226-228. (in Chinese) 张铁军, 周晓明, 张颖华, 等. 上海地区淋球菌临床分离株对不同抗生素的敏感性分析. 中国皮肤性病学杂志, 2008, 22(4): 226-228.
- [19] Jiang FX, Qi MG, Dai XQ, et al. Surveillance of antimicrobial susceptibilities of *Neisseria gonorrhoeae* in Nanjing city, 2003-2006. Chin J Leprosy Skin Dis, 2008, 24(1): 23-25. (in Chinese) 蒋法兴, 其木格, 戴秀琴, 等. 2003-2006年南京地区淋球菌分离株抗菌药物敏感性监测. 中国麻风皮肤病杂志, 2008, 24(1): 23-25.
- [20] Woodford N, Bindayna KM, Easmon CS, et al. Associations between serotype and susceptibility to antibiotics of *Neisseria gonorrhoeae*. Genitourin Med, 1989, 65: 86-91.

(收稿日期: 2009-09-03)

(本文编辑: 张林东)